

Введение в дискретную математику и математическую логику

•

Лекция №9

Кратчайшие пути между всеми парами вершин

Апанович Зинаида Владимировна

© Апанович З.В. 2024

Часть 1

Введение, определения

Введение

В этой лекции мы рассмотрим задачу **поиска кратчайших путей между всеми парами вершин** в графе.

Такая проблема может возникнуть при составлении **таблицы расстояний** между всеми парами городов для атласа автодорог.

Как и ранее, дан взвешенный, ориентированный граф $G = (V, E)$ с функцией веса $w : E \rightarrow \mathbb{R}$, которая сопоставляет рёбрам вещественные веса.

Мы хотим найти для каждой пары вершин $u, v \in V$ – кратчайший (с наименьшим весом) путь из u в v , где вес пути равен сумме весов его составляющих ребер.

Обычно нам нужен вывод в **табличной форме** : запись в строке u и столбце v должна быть весом кратчайшего пути из вершины u в вершину v .

Поиск кратчайших путей между всеми парами вершин

Мы можем решить задачу поиска кратчайших путей для всех пар вершин, запустив алгоритм поиска кратчайших путей с одним источником $|V|$ раз, по одному разу из каждой вершины в качестве источника.

Если все веса ребер неотрицательны, мы можем использовать алгоритм Дейкстры .

Грубая оценка времени выполнения составляет менее $O(V^3)$.

Если граф имеет ребра с отрицательным весом , мы не можем использовать алгоритм Дейкстры .

Вместо этого нам придется запустить более медленный алгоритм Беллмана-Форда по одному разу из каждой вершины.

Результирующее время выполнения составляет $O(V^2 E)$, что на плотном графе составляет $O(V^4)$.

Посмотрим, можно ли сделать лучше.

Поиск кратчайших путей между всеми парами вершин

В отличие от алгоритмов с одним источником, которые используют представление графа **в виде списка смежности, большинство алгоритмов в этой лекции используют представление графа в виде матрицы смежности.**

(Алгоритм Джонсона для разреженных графов использует **справочники смежности.**)

Мы предполагаем, что вершины пронумерованы $1, 2, \dots, |V|$.

Поиск кратчайших путей между всеми парами вершин

Входные данные : матрица W размером $n \times n$, представляющая веса ребер n -вершинного ориентированного графа $G = (V, E)$.

То есть, $W = \{w_{ij}\}$, где

0, если $i = j$;

w_{ij} = весу ориентированного ребра (i, j) , если $i \neq j$ и $(i, j) \in E$; (1)
 ∞ если $i \neq j$ и $(i, j) \notin E$:

Мы допускаем наличие ребер с отрицательным весом, но предполагаем, что **входной граф не содержит циклов с отрицательным весом**.

Выходные данные : матрица $D = (d_{ij})$ размером $n \times n$, где элемент d_{ij} содержит вес кратчайшего пути из вершины i в вершину j .

То есть, если $\delta(i, j)$ обозначает вес кратчайшего пути из вершины i в вершину j , то $d_{ij} = \delta(i, j)$ в результате работы алгоритма.

Матрица предшествования

Чтобы решить задачу поиска кратчайших путей для всех пар вершин на входной матрице смежности, нам необходимо вычислить не только веса кратчайших путей, но и **матрицу предшествования Π , где $\pi_{ij} = NIL$, если**

либо $i = j$

или нет пути из i в j , и

в противном случае π_{ij} является **предшественником вершины j по некоторому кратчайшему пути из i .**

Так же, как подграф предшествования G_π является деревом кратчайших путей для данной исходной вершины,

подграф, индуцированный i -**й строкой матрицы Π** должен быть деревом кратчайших путей с корнем в вершине i .

Подграф предшествования

Для каждой вершины $i \in V$, определим подграф предшествования $G_{\pi, i}$ для i как

$$G_{\pi, i} = (V_{\pi, i}, E_{\pi, i}),$$

где

$$V_{\pi, i} = \{ j \in V : \pi_{ij} \neq \text{NIL} \} \cup \{ i \}$$

и

$$E_{\pi, i} = \{ (\pi_{ij}, j) : j \in V_{\pi, i} - \{ i \} \}.$$

Некоторые соглашения:

- 1) Входной граф $G = (V, E)$ имеет n вершин, так что $n = |V|$.
- 2) Будем обозначать матрицы заглавными буквами, например W, L или D , а их отдельные элементы — строчными буквами с нижним индексом, например w_{ij} , l_{ij} или d_{ij} .
- 3) Некоторые матрицы будут иметь верхние индексы в скобках, как в $L^{(m)} = l_{ij}^{(m)}$ или $D^{(m)} = d_{ij}^{(m)}$, чтобы указать номер итерации.
- 4) Для заданной матрицы A **размером** $n \times n$ предположим, что значение n хранится в атрибуте $A.rows$.

Часть 2

Кратчайшие пути и умножение

Кратчайшие пути и умножение матриц

Сначала рассмотрим **алгоритм динамического программирования** для задачи поиска кратчайших путей для всех пар вершин в ориентированном графе $G = (V, E)$.

Каждый основной цикл динамической программы будет вызывать операцию, очень похожую на **умножение матриц**, так что алгоритм будет выглядеть как повторное умножение матриц.

Начнем с разработки алгоритма с временем выполнения $\theta(V^4)$ для задачи поиска кратчайших путей для всех пар вершин, а затем улучшим время его выполнения до $(V^3 \lg V)$.

Структура кратчайшего пути

Начнем с характеристики структуры оптимального решения.

Для задачи о кратчайших путях с одним источником на графе

$G = (V, E)$ мы доказали (лемма 1 из предыдущей лекции), что **все подпути кратчайшего пути являются кратчайшими путями**.

Предположим, что мы представляем граф матрицей смежности

$W = (w_{ij})$.

Рассмотрим кратчайший путь r из вершины i в вершину j и

предположим, что r содержит $\leq m$ ребер.

Если предположить, что в графе нет циклов с отрицательным весом, то m конечно.

1. Если $i = j$, то r имеет вес 0 и не имеет ребер.
2. Если вершины i и j различны, то мы разобьем путь r на $i \xrightarrow{r'} k \rightarrow j$, где путь r' теперь содержит не более $m-1$ ребер.

По лемме 1, r' — кратчайший путь из i в k , и поэтому

$$\delta(i, j) = \delta(i, k) + w_{kj}.$$

Рекурсивное решение задачи поиска кратчайших путей для всех пар вершин

Теперь пусть $I_{ij}^{(m)}$ будет минимальным весом
любого пути из вершины i в вершину j ,
который содержит $\leq m$ ребер.

Когда $m = 0$, существует кратчайший путь от i до j
без ребер $\Leftrightarrow i = j$.

Таким образом,

$$I_{ij}^{(0)} = \begin{cases} 0 & \text{if } i = j, \\ \infty & \text{if } i \neq j. \end{cases}$$

Рекурсивное решение задачи поиска кратчайших путей для всех пар вершин

Для $m \geq 1$, вычисляем $l_{ij}^{(m)}$ как минимум $l_{ij}^{(m-1)}$ (вес кратчайшего пути из i в j , состоящего из $\leq m-1$ ребер) и минимальный вес любого пути из i в j , состоящего не более чем из m ребер, полученный путем просмотра всех возможных предшественников k вершины j .

Таким образом, мы рекурсивно определяем

$$\begin{aligned} l_{ij}^{(m)} &= \min \left(l_{ij}^{(m-1)}, \min_{1 \leq k \leq n} \{ l_{ik}^{(m-1)} + w_{kj} \} \right) \\ &= \min_{1 \leq k \leq n} \{ l_{ik}^{(m-1)} + w_{kj} \}. \end{aligned} \tag{2}$$

Последнее равенство следует из того, что $w_{jj} = 0$ для всех j .

Рекурсивное решение задачи поиска кратчайших путей для всех пар вершин

Если граф не содержит циклов с отрицательным весом, то для каждой пары вершин i и j , для которых $\delta(i, j) < \infty$, существует кратчайший путь из i в j , который является простым и, таким образом, содержит $\leq n - 1$ ребер.

Путь из вершины i в вершину j с $> n - 1$ ребрами **не может иметь вес меньше, чем кратчайший путь из i в j .**

Фактические веса кратчайшего пути, таким образом, определяются как

$$\delta(i, j) = l_{ij}^{(n-1)} = l_{ij}^{(n)} = l_{ij}^{(n+1)} = \dots \quad (3)$$

Вычисление весов кратчайшего пути снизу вверх

Взяв в качестве входных данных матрицу $W = (w_{ij})$, теперь вычисляем последовательность матриц

$L^{(1)}, L^{(2)}, \dots, L^{(n-1)}$, где для $m = 1, 2, \dots, n-1$, имеем
 $L^{(m)} = (l_{ij}^{(m)})$.

Окончательная матрица $L^{(n-1)}$ содержит фактические веса кратчайших путей.

Заметим, что $l_{ij}^{(1)} = w_{ij}$ для всех вершин $i, j \in V$, и поэтому
 $L^{(1)} = W$.

Сердцем алгоритма является следующая процедура, которая, имея матрицы $L^{(m-1)}$ и W , возвращает матрицу $L^{(m)}$

То есть он расширяет кратчайшие пути, вычисленные на данный момент, еще на одно ребро.

Вычисление весов кратчайших путей

EXTEND-SHORTEST-PATHS(L, W)

1 $n = L.\text{rows}$

2 let $L' = (l'_{ij})$ be a new $n \times n$ matrix

3 **for** $i = 1$ **to** n

4 **for** $j = 1$ **to** n

5 $l'_{ij} = \infty$

6 **for** $k = 1$ **to** n

7 $l'_{ij} = \min(l'_{ij}, l'_{ik} + w_{kj})$

8 **return** L'

Вычисление весов кратчайших путей

Процедура вычисляет матрицу $L' = (l'_{ij})$, которую возвращает в конце. Это делается путем вычисления уравнения (2) для всех i и j , используя L для $L^{(m-1)}$ и L' для $L^{(m)}$.

(Она записана без верхних индексов, чтобы сделать ее входные и выходные матрицы независимыми от m .)

Время его выполнения составляет $\Theta(n^3)$ из-за 3 вложенных циклов **for**.

Теперь мы можем увидеть связь с **умножением матриц**.

Предположим, мы хотим вычислить матричное произведение $C = A \cdot B$ двух матриц A и B размера $n \times n$.

Вычисляем для $i, j = 1, 2, \dots, n$

$$c_{ij} = \sum_{k=1}^n a_{ik} \cdot b_{kj} . \quad (4)$$

Вычисление произведения матриц

SQUARE-MATRIX-MULTIPLY(A, B)

1 $n = A.rows$

2 let C be a new $n \times n$ matrix

3 **for** $i = 1$ **to** n

4 **for** $j = 1$ **to** n

5 $c_{ij} = 0$

6 **for** $k = 1$ **to** n

7 $c_{ij} = c_{ij} + a_{ik} \times b_{kj}$

8 **return** C

Вычисление весов кратчайших путей

Обратите внимание, что если мы сделаем замены

$\mathbf{J}^{(m-1)} \rightarrow a,$

$w \rightarrow b,$

$\mathbf{J}^{(m)} \rightarrow c,$

$\min \rightarrow + ,$

$+ \rightarrow \cdot$

в уравнении (2) получаем уравнение (4).

Таким образом, если мы внесем эти изменения в EXTEND-SHORTEST-PATHS, а также заменим ∞ (тождество для \min) на 0 (тождество для $+$), мы получим ту же процедуру за $\Theta(n^3)$ времени для умножения квадратных матриц.

Вычисление весов кратчайших путей

Возвращаясь к задаче поиска кратчайших путей для всех пар вершин, мы вычисляем веса кратчайших путей, расширяя кратчайшие пути ребром за ребром.

Пусть $A \cdot B$ обозначает матрицу «произведение», возвращаемую EXTEND-SHORTEST-PATHS(A , B), мы вычисляем последовательность из $n - 1$ матриц

$$L^{(1)} = L^{(0)} \cdot W = W,$$

$$L^{(2)} = L^{(1)} \cdot W = W^2$$

$$L^{(3)} = L^{(2)} \cdot W = W^3;$$

:

:

:

$$L^{(n-1)} = L^{(n-2)} \cdot W = W^{n-1}:$$

Матрица $L^{(n-1)} = W^{n-1}$ содержит веса кратчайших путей.

Вычисление весов кратчайших путей

Следующая процедура вычисляет эту последовательность за $\Theta(n^4)$ времени.

SLOW-ALL-PAIRS-SHORTEST-PATHS(W)

1 $n = W.\text{rows}$

2 $L^{(1)} = W$

3 **for** $m = 2$ **to** $n - 1$

4 let $L^{(m)}$ be a new $n \times n$ matrix

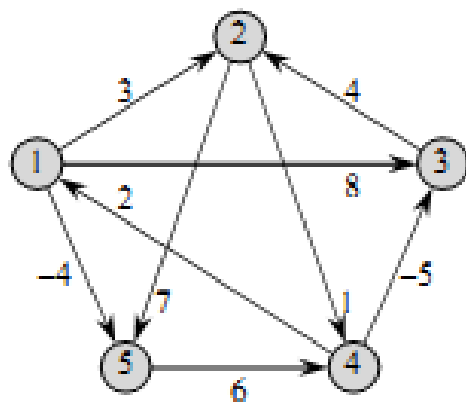
5 $L^{(m)} = \text{EXTEND-SHORTEST-PATHS}(L^{(m-1)}, W)$

6 **return** $L^{(n-1)}$

На слайдах 21–24 показаны граф и матрицы $L^{(m)}$, вычисленные с помощью процедуры SLOW-ALL-PAIRS-SHORTEST-PATHS.

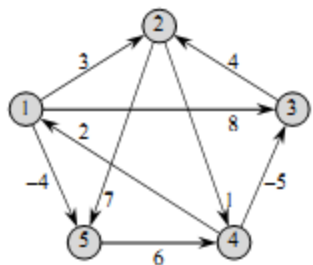
Пример вычисления весов кратчайших путей

$$L^{(1)} = L^{(0)} \cdot W = W$$



$$L^{(1)} = \begin{pmatrix} 0 & 3 & 8 & \infty & -4 \\ \infty & 0 & \infty & 1 & 7 \\ \infty & 4 & 0 & \infty & \infty \\ 2 & \infty & -5 & 0 & \infty \\ \infty & \infty & \infty & 6 & 0 \end{pmatrix}$$

Пример вычисления весов кратчайших путей $L^{(2)} = L^{(1)} \cdot W = W^2$



$$L^{(1)} = \begin{pmatrix} 0 & 3 & 8 & \infty & -4 \\ \infty & 0 & \infty & 1 & 7 \\ \infty & 4 & 0 & \infty & \infty \\ 2 & \infty & -5 & 0 & \infty \\ \infty & \infty & \infty & 6 & 0 \end{pmatrix}$$

$$W = \begin{pmatrix} 0 & 3 & 8 & \infty & -4 \\ \infty & 0 & \infty & 1 & 7 \\ \infty & 4 & 0 & \infty & \infty \\ 2 & \infty & -5 & 0 & \infty \\ \infty & \infty & \infty & 6 & 0 \end{pmatrix}$$

$$L_{11}^{(2)} = \min(0+0, 3+\infty, 8+\infty, \infty+2, -4+\infty) = 0$$

$$L_{12}^{(2)} = \min(0+3, 3+0, 8+4, \infty+\infty, -4+\infty) = 3$$

$$L_{13}^{(2)} = \min(0+8, 3+\infty, 8+0, \infty-5, -4+\infty) = 8$$

$$L_{14}^{(2)} = \min(0+2, 3+1, 8+5, \infty+0, -4+6) = 2$$

$$L_{15}^{(2)} = \min(0-4, 3+7, 8+11, \infty-2, -4+0) = -4$$

...

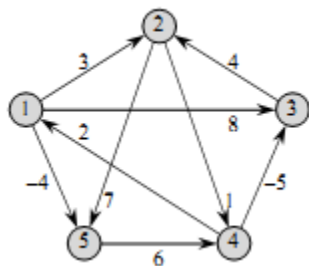
...

...

...

$$L^{(2)} = \begin{pmatrix} 0 & 3 & 8 & 2 & -4 \\ 3 & 0 & -4 & 1 & 7 \\ \infty & 4 & 0 & 5 & 11 \\ 2 & -1 & -5 & 0 & -2 \\ 8 & \infty & 1 & 6 & 0 \end{pmatrix}$$

Пример вычисления весов кратчайших путей $L^{(3)} = L^{(2)} \cdot W = W^3$



$$L^{(2)} = \begin{pmatrix} 0 & 3 & 8 & 2 & -4 \\ 3 & 0 & -4 & 1 & 7 \\ \infty & 4 & 0 & 5 & 11 \\ 2 & -1 & -5 & 0 & -2 \\ 8 & \infty & 1 & 6 & 0 \end{pmatrix}$$

$$W = \begin{pmatrix} 0 & 3 & 8 & \infty & -4 \\ \infty & 0 & \infty & 1 & 7 \\ \infty & 4 & 0 & \infty & \infty \\ 2 & \infty & -5 & 0 & \infty \\ \infty & \infty & \infty & 6 & 0 \end{pmatrix}$$

$$l_{11}^{(3)} = \min (0+0, 3+\infty, 8+\infty, 2+2, -4+\infty) = 0$$

$$l_{12}^{(3)} = \min (0+3, 3+0, 8+4, 2+\infty, -4+\infty) = 3$$

$$l_{13}^{(3)} = \min (0+8, 3+\infty, 8+0, 2-5, -4+\infty) = -3$$

$$l_{14}^{(3)} = \min (0+\infty, 3+1, 8+\infty, 2+0, -4+6) = 2$$

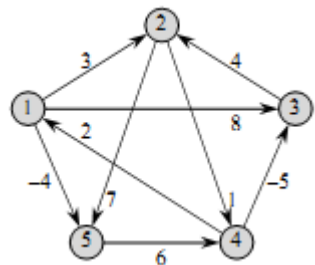
$$l_{15}^{(3)} = \min (0-4, 3+7, 8+\infty, 2+\infty, -4+0) = -4$$

...

...

$$L^{(3)} = \begin{pmatrix} 0 & 3 & -3 & 2 & -4 \\ 3 & 0 & -4 & 1 & -1 \\ 7 & 4 & 0 & 5 & 11 \\ 2 & -1 & -5 & 0 & -2 \\ 8 & 5 & 1 & 6 & 0 \end{pmatrix}$$

Пример вычисления весов кратчайших путей $L^{(4)} = L^{(3)} \cdot W = W^4$



$$\begin{pmatrix} 0 & 3 & -3 & 2 & -4 \\ 3 & 0 & -4 & 1 & -1 \\ 7 & 4 & 0 & 5 & 11 \\ 2 & -1 & -5 & 0 & -2 \\ 8 & 5 & 1 & 6 & 0 \end{pmatrix}$$

$$\begin{pmatrix} 0 & 3 & 8 & \infty & -4 \\ \infty & 0 & \infty & 1 & 7 \\ \infty & 4 & 0 & \infty & \infty \\ 2 & \infty & -5 & 0 & \infty \\ \infty & \infty & \infty & 6 & 0 \end{pmatrix}$$

$$l_{11}^{(4)} = \min (0+0, 3+\infty, -3+\infty, 2+2, -4+\infty) = 0$$

$$l_{12}^{(4)} = \min (0+3, 3+0, -3+4, 2+\infty, -4+\infty) = 1$$

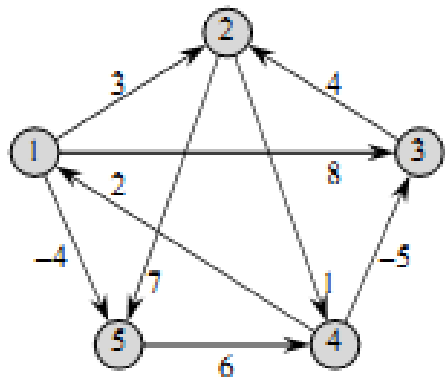
$$l_{13}^{(4)} = \min (0+8, 3+\infty, -3+0, 2-5, -4+\infty) = -3$$

$$l_{14}^{(4)} = \min (0+\infty, 3+1, -3+\infty, 2+0, -4+6) = 2$$

$$l_{15}^{(4)} = \min (0-4, 3+7, -3+\infty, 2+\infty, -4+0) = -\dots$$

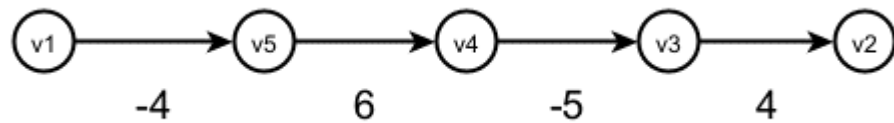
$$L^{(4)} = \begin{pmatrix} 0 & 1 & -3 & 2 & -4 \\ 3 & 0 & -4 & 1 & -1 \\ 7 & 4 & 0 & 5 & 3 \\ 2 & -1 & -5 & 0 & -2 \\ 8 & 5 & 1 & 6 & 0 \end{pmatrix}$$

Дерево кратчайших путей из v_1



$$L^{(1)} = \begin{pmatrix} 0 & 3 & 8 & \infty & -4 \\ \infty & 0 & \infty & 1 & 7 \\ \infty & 4 & 0 & \infty & \infty \\ 2 & \infty & -5 & 0 & \infty \\ \infty & \infty & \infty & 6 & 0 \end{pmatrix}$$

$$L^{(4)} = \begin{pmatrix} 0 & 1 & -3 & 2 & -4 \\ 3 & 0 & -4 & 1 & -1 \\ 7 & 4 & 0 & 5 & 3 \\ 2 & -1 & -5 & 0 & -2 \\ 8 & 5 & 1 & 6 & 0 \end{pmatrix}$$



Улучшение времени работы

Однако наша цель не состоит в вычислении *всех* матриц $L^{(m)}$:
нас интересует только матрица $L^{(n-1)}$.

Напомним, что при отсутствии циклов с отрицательным весом
уравнение (3) подразумевает

$L^{(m)} = L^{(n-1)}$ для всех целых чисел $m \geq n - 1$.

Так же, как традиционное умножение матриц является
ассоциативным, так и умножение матриц, определяемое
процедурой EXTEND-SHORTEST-PATHS, тоже является
ассоциативным.

Ускорение вычисления весов кратчайших путей

Следовательно, мы можем вычислить $L^{(n-1)}$ всего лишь с помощью $\lceil \lg(n-1) \rceil$ матричных произведений, вычислив последовательность

$$L^{(1)} = W;$$

$$L^{(2)} = W^2 = W \cdot W;$$

$$L^{(4)} = W^4 = W^2 \cdot W^2;$$

$$L^{(8)} = W^8 = W^4 \cdot W^4;$$

:

:

:

$$L^{(2\lceil \lg(n-1) \rceil)} = W^{2\lceil \lg(n-1) \rceil} = W^{2\lceil \lg(n-1) \rceil - 1} \cdot W^{2\lceil \lg(n-1) \rceil - 1}.$$

Так как $2^{\lceil \lg(n-1) \rceil} \geq n-1$, конечное произведение $L^{(2\lceil \lg(n-1) \rceil)}$ равно $L^{(n-1)}$.

Пример вычисления весов кратчайших путей

Следующая процедура вычисляет указанную выше последовательность матриц, используя этот метод **повторного возведения в квадрат**.

FASTER-ALL-PAIRS-SHORTEST-PATHS(W)

1 $n = W.\text{rows}$

2 $L^{(1)} = W$

3 $m = 1$

4 **while** $m < n - 1$

5 let $L^{(2m)}$ be a new $n \times n$ matrix

6 $L^{(2m)} = \text{EXTEND-SHORTEST-PATHS}(L^{(m)}, L^{(m)})$

7 $m = 2m$

8 **return** $L^{(m)}$

Ускорение вычисления весов кратчайших путей

На каждой итерации цикла **while** строк 4–7 мы вычисляем $L^{(2m)} = (L^{(m)})^2$, начиная с $m = 1$.

В конце каждой итерации мы удваиваем значение m .

Последняя итерация вычисляет $L^{(n-1)}$ путем фактического вычисления $L^{(2m)}$ для некоторого

$$n - 1 \leq 2m < 2n - 2.$$

По уравнению (3) $L^{(2m)} = L^{(n-1)}$.

В следующий раз, когда будет выполнен тест в строке 4, m удвоится, так что теперь $m \geq n - 1$, тест не пройден, и процедура возвращает последнюю вычисленную ею матрицу.

Поскольку каждое из произведений матриц $\lceil \lg(n-1) \rceil$ занимает $\Theta(n^3)$ времени,

FASTER-ALL-PAIRS-SHORTEST-PATHS выполняется за $\Theta(n^3 \lg n)$ операций.

Часть 3. Алгоритм Флойда- Уоршелла

Алгоритм Флойда-Уоршелла

Далее мы воспользуемся другой формулировкой динамического программирования для решения задачи поиска кратчайших путей для всех пар вершин в ориентированном графе $G = (V, E)$.

Полученный алгоритм, известный как алгоритм Флойда-Уоршелла , выполняется за время $\Theta(V^3)$.

Как и прежде, в графе могут присутствовать ребра с отрицательным весом , но мы предполагаем, что циклы с отрицательным весом отсутствуют .

Для разработки алгоритма мы следуем процессу динамического программирования.

Структура кратчайшего пути

Алгоритм Флойда-Уоршелла рассматривает промежуточные вершины кратчайшего пути, где **промежуточной** вершиной простого пути $p = \langle v_1, v_2, \dots, v_l \rangle$ является любая вершина p **кроме** v_1 или v_l , то есть, любая вершина во множестве $\{v_2, v_3, \dots, v_{l-1}\}$.

Алгоритм Флойда-Уоршелла основан на следующем наблюдении. При нашем предположении, что вершины графа G равны $V = \{1, 2, \dots, n\}$, рассмотрим подмножество $\{1, 2, \dots, k\}$ вершин для некоторого k .

Для любой пары вершин $i, j \in V$ рассмотрим все пути от i до j , все промежуточные вершины которых взяты из $\{1, 2, \dots, k\}$, и пусть p будет путем минимального веса. (Путь p простой.)

Алгоритм Флойда-Уоршелла использует связь между путем p и кратчайшими путями от i до j со всеми промежуточными вершинами во множестве $\{1, 2, \dots, k - 1\}$.

Соотношение зависит от того, является ли k промежуточной вершиной пути p .

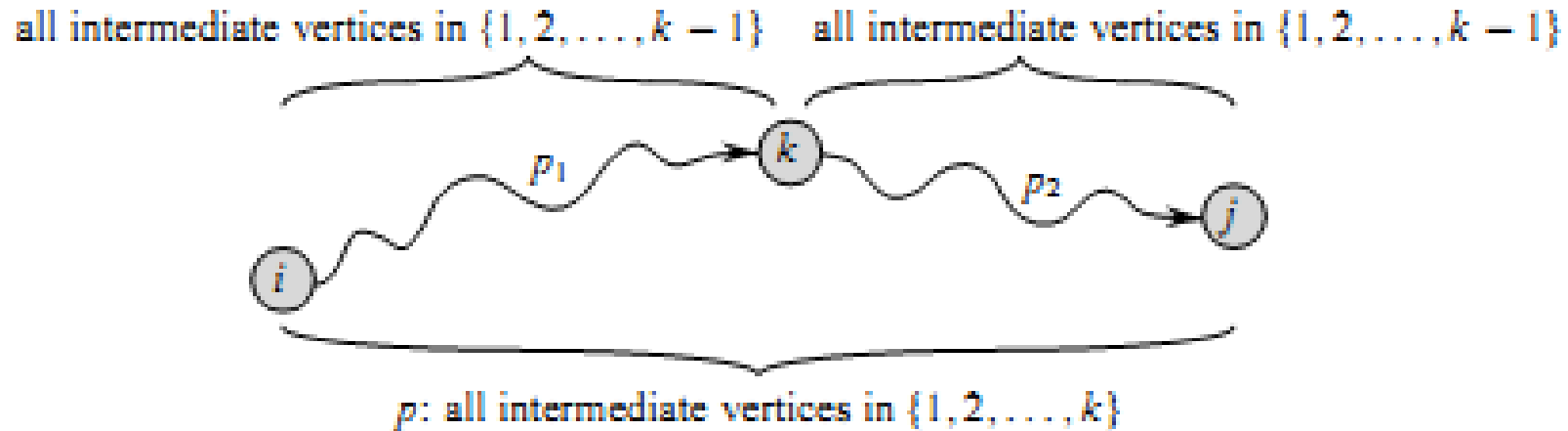
Алгоритм Флойда-Уоршелла

Если k не является промежуточной вершиной пути p , то все промежуточные вершины пути p находятся в множестве $\{1, 2, \dots, k - 1\}$.

Таким образом, кратчайший путь из вершины i в вершину j со всеми промежуточными вершинами из множества $\{1, 2, \dots, k - 1\}$ также является кратчайшим путем из i в j со всеми промежуточными вершинами из множества $\{1, 2, \dots, k\}$.

Если k — промежуточная вершина пути p , то мы разлагаем путь p на два подпути $i^{(p1)} \sim k^{(p2)} \sim j$, как показано на следующем слайде.

Алгоритм Флойда-Уоршелла



Путь p — кратчайший путь из вершины i в вершину j , а k — промежуточная вершина с наибольшим номером для p . Путь p_1 , часть пути p из вершины i в вершину k , имеет все промежуточные вершины во множестве $\{1, 2, \dots, k - 1\}$. То же самое справедливо для пути p_2 из вершины k в вершину j .

Алгоритм Флойда-Уоршелла

По [лемме 1 из предыдущей лекции](#), путь p_1 — кратчайший путь из i в k со всеми промежуточными вершинами во множестве

$\{1, 2, \dots, k\}$.

На самом деле, мы можем сделать немного более сильное заявление.

Поскольку вершина k не является промежуточной вершиной пути p_1 , все промежуточные вершины пути p_1 находятся во множестве $\{1, 2, \dots, k - 1\}$.

Следовательно, p_1 — кратчайший путь из i в k со всеми промежуточными вершинами во множестве

$\{1, 2, \dots, k - 1\}$.

Аналогично, p_2 — кратчайший путь из вершины k в вершину j со всеми промежуточными вершинами во множестве

$\{1, 2, \dots, k - 1\}$.

Алгоритм Флойда-Уоршелла

На основе вышеизложенных наблюдений мы определяем еще одну рекурсивную формулировку оценок длины кратчайших путей.

Пусть $d_{ij}^{(k)}$ — вес кратчайшего пути из вершины i в вершину j , для которого все промежуточные вершины находятся во множестве $\{1, 2, \dots, k\}$.

При $k = 0$ путь из вершины i в вершину j без промежуточных вершин с номером больше 0 вообще не имеет промежуточных вершин.

Такой путь имеет ≤ 1 ребро, и, следовательно,

$$d_{ij}^{(0)} = w_{ij}.$$

Алгоритм Флойда-Уоршелла

Следуя вышеизложенному обсуждению, мы определяем $d_{ij}^{(k)}$ рекурсивно по следующему правилу

$$d_{ij}^{(k)} = \begin{cases} w_{ij} & \text{if } k = 0, \\ \min(d_{ij}^{(k-1)}, d_{ik}^{(k-1)} + d_{kj}^{(k-1)}) & \text{if } k \geq 1. \end{cases} \quad (5)$$

Поскольку для любого пути все промежуточные вершины находятся во множестве $\{1, 2, \dots, n\}$, матрица $D^{(n)} = d_{ij}^{(n)}$ дает окончательный ответ:
 $d_{ij}^{(n)} = \delta(i, j)$ для всех $i, j \in V$.

Вычисление весов кратчайшего пути снизу вверх

На основе рекуррентного соотношения (5) мы можем использовать следующую процедуру для вычисления значений $d_{ij}^{(k)}$ в порядке возрастания значений k .

Вход: матрица W размером $n \times n$, определенная как в уравнении (1).

Выходные данные: матрица $D^{(n)}$ весов кратчайших путей.

Алгоритм Флойда-Уоршелла

FLOYD-WARSHALL(W)

1 $n = W.rows$

2 $D^{(0)} = W$

3 **for** $k = 1$ **to** n

4 let $D^{(k)} = d_{ij}^{(k)}$ be a new $n \times n$ matrix

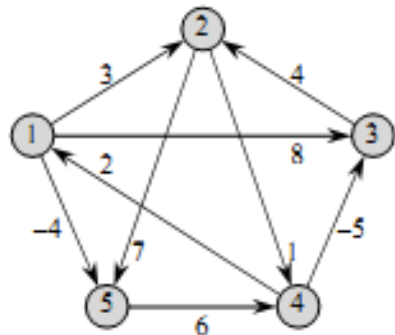
5 **for** $i = 1$ **to** n

6 **for** $j = 1$ **to** n

7 $d_{ij}^{(k)} = \min(d_{ij}^{(k-1)}, d_{ik}^{(k-1)} + d_{kj}^{(k-1)})$

8 **return** $D^{(n)}$

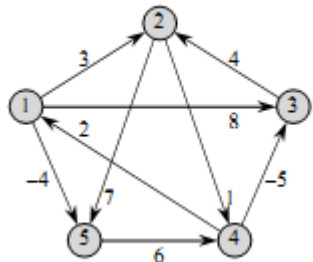
Алгоритм Флойда-Уоршелла. Пример.



$$D^{(0)} = W$$

$$D^{(0)} = \begin{pmatrix} 0 & 3 & 8 & \infty & -4 \\ \infty & 0 & \infty & 1 & 7 \\ \infty & 4 & 0 & \infty & \infty \\ 2 & \infty & -5 & 0 & \infty \\ \infty & \infty & \infty & 6 & 0 \end{pmatrix}$$

Алгоритм Флойда-Уоршелла. Пример.



Промежуточные вершины = {1}

Все ребра, входящие в вершину 1, показаны в столбце 1.

Все ребра, исходящие из вершины 1, показаны в строке 1.

$$d_{41}^{(1)} = \min(d_{41}^{(0)} + d_{11}^{(0)}, d_{41}^{(0)}) = \min(0+2, 2) = 2$$

$$d_{42}^{(1)} = \min(d_{41}^{(0)} + d_{12}^{(0)}, d_{42}^{(0)}) = \min(3+2, \infty) \Rightarrow d_{42} = 5, \pi_{42} = 1$$

$$d_{43}^{(1)} = \min(d_{41}^{(0)} + d_{13}^{(0)}, d_{43}^{(0)}) = \min(8+2, -5) = -5$$

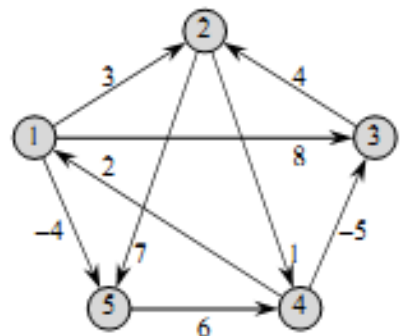
$$d_{44}^{(1)} = \min(d_{41}^{(0)} + d_{14}^{(0)}, d_{44}^{(0)}) = \min(\infty+2, 0) = 0$$

$$d_{45}^{(1)} = \min(d_{41}^{(0)} + d_{15}^{(0)}, d_{45}^{(0)}) = \min(-4+2 = -2, \infty) \Rightarrow d_{45} = -2, \pi_{45} = 1$$

$$D^{(0)} = \begin{pmatrix} 0 & 3 & 8 & \infty & -4 \\ \infty & 0 & \infty & 1 & 7 \\ \infty & 4 & 0 & \infty & \infty \\ 2 & \infty & -5 & 0 & \infty \\ \infty & \infty & \infty & 6 & 0 \end{pmatrix}$$

$$D^{(1)} = \begin{pmatrix} 0 & 3 & 8 & \infty & -4 \\ \infty & 0 & \infty & 1 & 7 \\ \infty & 4 & 0 & \infty & \infty \\ 2 & 5 & -5 & 0 & -2 \\ \infty & \infty & \infty & 6 & 0 \end{pmatrix}$$

Алгоритм Флойда-Уоршелла. Пример.



Промежуточные вершины = {1, 2}

Все ребра, входящие в вершину 2, показаны в столбце 2.

Все ребра, исходящие из вершины 2, показаны в строке 2.

$$d_{14}^{(2)} = d_{12}^{(1)} + d_{24}^{(1)} = 1 + 3 = 4,$$

$$d_{34}^{(2)} = d_{32}^{(1)} + d_{24}^{(1)} = 1 + 4 = 5,$$

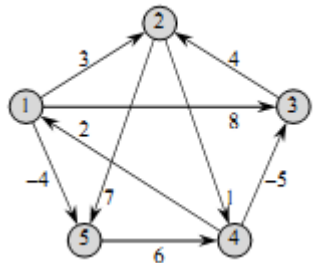
$$d_{35}^{(2)} = d_{32}^{(1)} + d_{25}^{(1)} = 4 + 7 = 11.$$

$$D^{(1)} = \begin{pmatrix} 0 & 3 & 8 & \infty & -4 \\ \infty & 0 & \infty & 1 & 7 \\ \infty & 4 & 0 & \infty & \infty \\ 2 & 5 & -5 & 0 & -2 \\ \infty & \infty & \infty & 6 & 0 \end{pmatrix}$$

$$D^{(2)} = \begin{pmatrix} 0 & 3 & 8 & 4 & -4 \\ \infty & 0 & \infty & 1 & 7 \\ \infty & 4 & 0 & 5 & 11 \\ 2 & 5 & -5 & 0 & -2 \\ \infty & \infty & \infty & 6 & 0 \end{pmatrix}$$

Алгоритм Флойда-Уоршелла. Пример

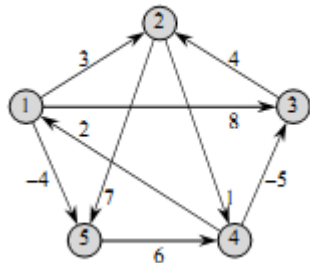
Промежуточные вершины = {1, 2, 3}



$$d_{42}^{(3)} = d_{43}^{(2)} + d_{32}^{(2)} = 4 - 5 = -1.$$

$$D^{(2)} = \begin{pmatrix} 0 & 3 & 8 & 4 & -4 \\ \infty & 0 & \infty & 1 & 7 \\ \infty & 4 & 0 & 5 & 11 \\ 2 & 5 & -5 & 0 & -2 \\ \infty & \infty & \infty & 6 & 0 \end{pmatrix} \quad D^{(3)} = \begin{pmatrix} 0 & 3 & 8 & 4 & -4 \\ \infty & 0 & \infty & 1 & 7 \\ \infty & 4 & 0 & 5 & 11 \\ 2 & -1 & -5 & 0 & -2 \\ \infty & \infty & \infty & 6 & 0 \end{pmatrix}$$

Алгоритм Флойда-Уоршелла. Пример



Промежуточные вершины = {1, 2, 3, 4}

$$d_{13}^{(4)} = d_{43}^{(3)} \quad d_{43}^{(3)} = 4 - 5 = -1,$$

$$d_{21}^{(4)} = d_{24}^{(3)} + d_{41}^{(3)} = 1 + 2 = 3$$

$$d_{23}^{(4)} = d_{24}^{(3)} + d_{43}^{(3)} = 1 - 5 = -4,$$

$$d_{25}^{(4)} = d_{24}^{(3)} + d_{45}^{(3)} = 1 - 2 = -1,$$

$$d_{31}^{(4)} = d_{34}^{(3)} + d_{41}^{(3)} = 5 + 2 = 7,$$

$$d_{35}^{(4)} = d_{34}^{(3)} + d_{45}^{(3)} = 5 - 2 = 3,$$

$$d_{51}^{(4)} = d_{54}^{(3)} + d_{41}^{(3)} = 6 + 2 = 8$$

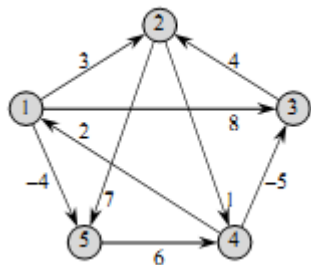
$$d_{52}^{(4)} = d_{54}^{(3)} + d_{42}^{(3)} = 6 - 1 = 5$$

$$d_{53}^{(4)} = d_{54}^{(3)} + d_{43}^{(3)} = 6 - 5 = 1$$

$$D^{(3)} = \begin{pmatrix} 0 & 3 & 8 & 4 & -4 \\ \infty & 0 & \infty & 1 & 7 \\ \infty & 4 & 0 & 5 & 11 \\ 2 & -1 & -5 & 0 & -2 \\ \infty & \infty & \infty & 6 & 0 \end{pmatrix}$$

$$D^{(4)} = \begin{pmatrix} 0 & 3 & -1 & 4 & -4 \\ 3 & 0 & -4 & 1 & -1 \\ 7 & 4 & 0 & 5 & 3 \\ 2 & -1 & -5 & 0 & -2 \\ 8 & 5 & 1 & 6 & 0 \end{pmatrix}$$

Алгоритм Флойда-Уоршелла. Пример



Промежуточные вершины = {1, 2, 3, 4, 5}

$$d_{12}^{(5)} = d_{15}^{(4)} + d_{52}^{(4)} = -4 + 5 = 1,$$

$$d_{13}^{(5)} = d_{15}^{(4)} + d_{53}^{(4)} = -4 + 1 = -3$$

$$d_{14}^{(5)} = d_{15}^{(4)} + d_{54}^{(4)} = -4 + 6 = 2.$$

$$D^{(4)} = \begin{pmatrix} 0 & 3 & -1 & 4 & -4 \\ 3 & 0 & -4 & 1 & -1 \\ 7 & 4 & 0 & 5 & 3 \\ 2 & -1 & -5 & 0 & -2 \\ 8 & 5 & 1 & 6 & 0 \end{pmatrix}$$

$$D^{(5)} = \begin{pmatrix} 0 & 1 & -3 & 2 & -4 \\ 3 & 0 & -4 & 1 & -1 \\ 7 & 4 & 0 & 5 & 3 \\ 2 & -1 & -5 & 0 & -2 \\ 8 & 5 & 1 & 6 & 0 \end{pmatrix}$$

Алгоритм Флойда-Уоршелла

Время выполнения алгоритма Флойда-Уоршелла определяется тройным вложенным циклом **for** строк 3–7.

Поскольку каждое выполнение строки 7 занимает время $O(1)$, алгоритм выполняется за время $\Theta(n^3)$.

Построение кратчайших путей в алгоритме Флойда-Уоршелла.

Существует множество различных методов построения кратчайших путей в алгоритме Флойда-Уоршелла.

Один из способов — вычислить матрицу D весов кратчайших путей, а затем построить матрицу предшествования Π по матрице D .

Построение кратчайших путей в алгоритме Флойда-Уоршелла.

В качестве альтернативы мы можем вычислить матриц-предшествования Π , пока алгоритм вычисляет матрицы $D^{(k)}$

В частности, мы вычисляем последовательность матриц $\Pi^{(0)}$, $\Pi^{(1)}$, $\Pi^{(n)}$, где $\Pi = \Pi^{(n)}$.

Мы определяем $\pi_{ij}^{(k)}$ как предшественника вершины j на кратчайшем пути из вершины i со всеми промежуточными вершинами во множестве $\{1, 2, \dots, k\}$.

Мы можем дать рекурсивную формулировку $\pi_{ij}^{(k)}$.

Когда $k = 0$, кратчайший путь из вершины i в j вообще не имеет промежуточных вершин.

Таким образом,

$$\pi_{ij}^{(0)} = \begin{cases} \text{NIL} & \text{if } i = j \text{ or } w_{ij} = \infty, \\ i & \text{if } i \neq j \text{ and } w_{ij} < \infty. \end{cases}$$

Построение кратчайших путей в алгоритме Флойда-Уоршелла.

Для $k \geq 1$, если мы пойдем по пути $i \sim k \sim j$, где $k \neq j$, то предшественник j , которого мы выбираем, совпадает с предшественником j , которого мы выбираем на кратчайшем пути из k со всеми промежуточными вершинами во множестве $\{1, 2, \dots, k - 1\}$.

В противном случае, мы выбираем того же предшественника j , которого мы выбрали на кратчайшем пути из i со всеми промежуточными вершинами во множестве $\{1, 2, \dots, k - 1\}$.

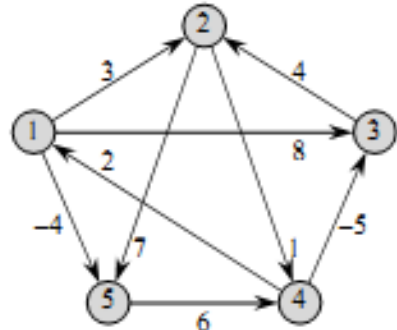
Формально, для $k \geq 1$,

$$\pi_{ij}^{(k)} = \begin{cases} \pi_{ij}^{(k-1)} & \text{if } d_{ij}^{(k-1)} \leq d_{ik}^{(k-1)} + d_{kj}^{(k-1)}, \\ \pi_{kj}^{(k-1)} & \text{if } d_{ij}^{(k-1)} > d_{ik}^{(k-1)} + d_{kj}^{(k-1)}. \end{cases}$$

Построение кратчайших путей в алгоритме Флойда-Уоршелла.

Слайды 50–55 показывают последовательность матриц $\Pi^{(k)}$, которую результирующий алгоритм вычисляет для графа на слайдах 38–43.

Последовательность матриц $D^{(k)}$ и $\Pi^{(k)}$, вычисленная алгоритмом Флойда- Уоршелла.

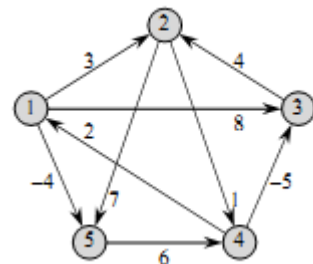


$$D^{(0)} = W$$

$$D^{(0)} = \begin{pmatrix} 0 & 3 & 8 & \infty & -4 \\ \infty & 0 & \infty & 1 & 7 \\ \infty & 4 & 0 & \infty & \infty \\ 2 & \infty & -5 & 0 & \infty \\ \infty & \infty & \infty & 6 & 0 \end{pmatrix}$$

$$\Pi^{(0)} = \begin{pmatrix} \text{NIL} & 1 & 1 & \text{NIL} & 1 \\ \text{NIL} & \text{NIL} & \text{NIL} & 2 & 2 \\ \text{NIL} & 3 & \text{NIL} & \text{NIL} & \text{NIL} \\ 4 & \text{NIL} & 4 & \text{NIL} & \text{NIL} \\ \text{NIL} & \text{NIL} & \text{NIL} & 5 & \text{NIL} \end{pmatrix}$$

Последовательность матриц $D^{(k)}$ и $\Pi^{(k)}$, вычисленная алгоритмом Флойда- Уоршелла



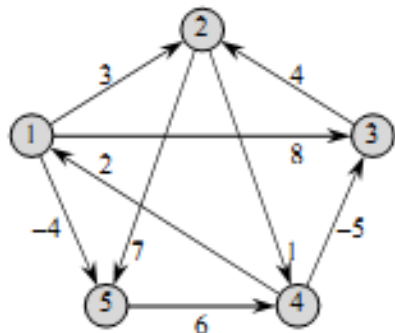
$$d_{42}^{(1)} = d_{41}^{(0)} + d_{12}^{(0)} \Rightarrow \pi_{42}^{(1)} = \pi_{12}^{(0)} = 1$$

$$d_{45}^{(1)} = (d_{41}^{(0)} + d_{15}^{(0)}) \Rightarrow \pi_{45}^{(1)} = \pi_{15}^{(0)} = 1$$

$$D^{(0)} = \begin{pmatrix} 0 & 3 & 8 & \infty & -4 \\ \infty & 0 & \infty & 1 & 7 \\ \infty & 4 & 0 & \infty & \infty \\ 2 & \infty & -5 & 0 & \infty \\ \infty & \infty & \infty & 6 & 0 \end{pmatrix} \quad \Pi^{(0)} = \begin{pmatrix} \text{NIL} & 1 & 1 & \text{NIL} & 1 \\ \text{NIL} & \text{NIL} & \text{NIL} & 2 & 2 \\ \text{NIL} & 3 & \text{NIL} & \text{NIL} & \text{NIL} \\ 4 & \text{NIL} & 4 & \text{NIL} & \text{NIL} \\ \text{NIL} & \text{NIL} & \text{NIL} & 5 & \text{NIL} \end{pmatrix}$$

$$D^{(1)} = \begin{pmatrix} 0 & 3 & 8 & \infty & -4 \\ \infty & 0 & \infty & 1 & 7 \\ \infty & 4 & 0 & \infty & \infty \\ 2 & 5 & -5 & 0 & -2 \\ \infty & \infty & \infty & 6 & 0 \end{pmatrix} \quad \Pi^{(1)} = \begin{pmatrix} \text{NIL} & 1 & 1 & \text{NIL} & 1 \\ \text{NIL} & \text{NIL} & \text{NIL} & 2 & 2 \\ \text{NIL} & 3 & \text{NIL} & \text{NIL} & \text{NIL} \\ 4 & 1 & 4 & \text{NIL} & 1 \\ \text{NIL} & \text{NIL} & \text{NIL} & 5 & \text{NIL} \end{pmatrix}$$

Последовательность матриц $D^{(k)}$ и $\Pi^{(k)}$, вычисленная алгоритмом Флойда- Уоршелла



$$\begin{aligned}
 d_{14}^{(2)} &= d_{12}^{(1)} + d_{24}^{(1)} \Rightarrow \pi_{14}^{(2)} = \pi_{24}^{(1)} = 2 \\
 d_{34}^{(2)} &= d_{32}^{(1)} + d_{24}^{(1)} \Rightarrow \pi_{34}^{(2)} = \pi_{24}^{(1)} = 2 \\
 d_{35}^{(2)} &= d_{32}^{(1)} + d_{25}^{(1)} \Rightarrow \pi_{42}^{(1)} = \pi_{12}^{(0)} = 2
 \end{aligned}$$

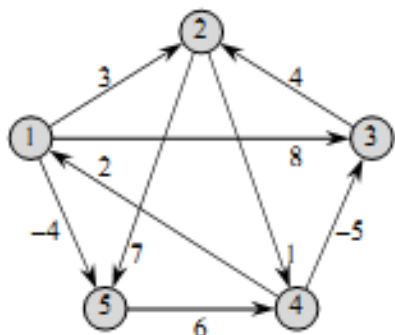
$$D^{(1)} = \begin{pmatrix} 0 & 3 & 8 & \infty & -4 \\ \infty & 0 & \infty & 1 & 7 \\ \infty & 4 & 0 & \infty & \infty \\ 2 & 5 & -5 & 0 & -2 \\ \infty & \infty & \infty & 6 & 0 \end{pmatrix}$$

$$\Pi^{(1)} = \begin{pmatrix} \text{NIL} & 1 & 1 & \text{NIL} & 1 \\ \text{NIL} & \text{NIL} & \text{NIL} & 2 & 2 \\ \text{NIL} & 3 & \text{NIL} & \text{NIL} & \text{NIL} \\ 4 & 1 & 4 & \text{NIL} & 1 \\ \text{NIL} & \text{NIL} & \text{NIL} & 5 & \text{NIL} \end{pmatrix}$$

$$D^{(2)} = \begin{pmatrix} 0 & 3 & 8 & 4 & -4 \\ \infty & 0 & \infty & 1 & 7 \\ \infty & 4 & 0 & 5 & 11 \\ 2 & 5 & -5 & 0 & -2 \\ \infty & \infty & \infty & 6 & 0 \end{pmatrix}$$

$$\Pi^{(2)} = \begin{pmatrix} \text{NIL} & 1 & 1 & 2 & 1 \\ \text{NIL} & \text{NIL} & \text{NIL} & 2 & 2 \\ \text{NIL} & 3 & \text{NIL} & 2 & 2 \\ 4 & 1 & 4 & \text{NIL} & 1 \\ \text{NIL} & \text{NIL} & \text{NIL} & 5 & \text{NIL} \end{pmatrix}$$

Последовательность матриц $D^{(k)}$ и $\Pi^{(k)}$, вычисленная алгоритмом Флойда- Уоршелла



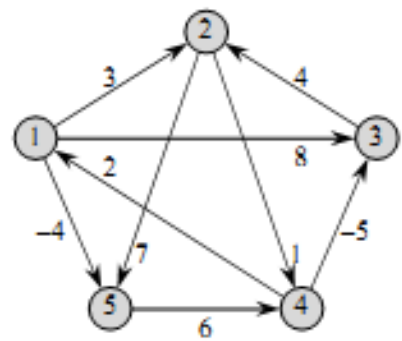
$$d_{42}^{(3)} = d_{43}^{(2)} + d_{32}^{(2)} \Rightarrow \pi_{42}^{(3)} = \pi_{32}^{(2)} = 3$$

$$D^{(2)} = \begin{pmatrix} 0 & 3 & 8 & 4 & -4 \\ \infty & 0 & \infty & 1 & 7 \\ \infty & 4 & 0 & 5 & 11 \\ 2 & 5 & -5 & 0 & -2 \\ \infty & \infty & \infty & 6 & 0 \end{pmatrix}$$

$$\Pi^{(2)} = \begin{pmatrix} \text{NIL} & 1 & 1 & 2 & 1 \\ \text{NIL} & \text{NIL} & \text{NIL} & 2 & 2 \\ \text{NIL} & 3 & \text{NIL} & 2 & 2 \\ 4 & 1 & 4 & \text{NIL} & 1 \\ \text{NIL} & \text{NIL} & \text{NIL} & 5 & \text{NIL} \end{pmatrix}$$

$$D^{(3)} = \begin{pmatrix} 0 & 3 & 8 & 4 & -4 \\ \infty & 0 & \infty & 1 & 7 \\ \infty & 4 & 0 & 5 & 11 \\ 2 & -1 & -5 & 0 & -2 \\ \infty & \infty & \infty & 6 & 0 \end{pmatrix}$$

$$\Pi^{(3)} = \begin{pmatrix} \text{NIL} & 1 & 1 & 2 & 1 \\ \text{NIL} & \text{NIL} & \text{NIL} & 2 & 2 \\ \text{NIL} & 3 & \text{NIL} & 2 & 2 \\ 4 & 3 & 4 & \text{NIL} & 1 \\ \text{NIL} & \text{NIL} & \text{NIL} & 5 & \text{NIL} \end{pmatrix}$$



$$\begin{aligned}
 d_{13}^{(4)} &= d_{43}^{(3)} + d_{43}^{(3)} \Rightarrow \pi_{13}^{(4)} = \pi_{43}^{(3)} = 4 \\
 d_{21}^{(4)} &= d_{24}^{(3)} + d_{41}^{(3)} \Rightarrow \pi_{21}^{(4)} = \pi_{41}^{(3)} = 4 \\
 d_{23}^{(4)} &= d_{24}^{(3)} + d_{43}^{(3)} \Rightarrow \pi_{23}^{(4)} = \pi_{43}^{(3)} = 4 \\
 d_{25}^{(4)} &= d_{24}^{(3)} + d_{45}^{(3)} \Rightarrow \pi_{25}^{(4)} = \pi_{45}^{(3)} = 1 \\
 d_{31}^{(4)} &= d_{34}^{(3)} + d_{41}^{(3)} \Rightarrow \pi_{31}^{(4)} = \pi_{41}^{(3)} = 4 \\
 d_{35}^{(4)} &= d_{34}^{(3)} + d_{45}^{(3)} \Rightarrow \pi_{35}^{(4)} = \pi_{45}^{(3)} = 1 \\
 d_{51}^{(4)} &= d_{54}^{(3)} + d_{41}^{(3)} \Rightarrow \pi_{51}^{(4)} = \pi_{41}^{(3)} = 4 \\
 d_{52}^{(4)} &= d_{54}^{(3)} + d_{42}^{(3)} \Rightarrow \pi_{52}^{(4)} = \pi_{42}^{(3)} = 3 \\
 d_{53}^{(4)} &= d_{54}^{(3)} + d_{43}^{(3)} \Rightarrow \pi_{53}^{(4)} = \pi_{43}^{(3)} = 4
 \end{aligned}$$

$$D^{(3)} = \left(\begin{array}{ccccc} 0 & 3 & 8 & 4 & -4 \\ \infty & 0 & \infty & 1 & 7 \\ \infty & 4 & 0 & 5 & 11 \\ 2 & -1 & -5 & 0 & -2 \\ \infty & \infty & \infty & 6 & 0 \end{array} \right)$$

$$\Pi^{(3)} = \left(\begin{array}{ccccc} \text{NIL} & 1 & 1 & 2 & 1 \\ \text{NIL} & \text{NIL} & \text{NIL} & 2 & 2 \\ \text{NIL} & 3 & \text{NIL} & 2 & 2 \\ 4 & 3 & 4 & \text{NIL} & 1 \\ \text{NIL} & \text{NIL} & \text{NIL} & 5 & \text{NIL} \end{array} \right)$$

$$D^{(4)} = \left(\begin{array}{ccccc} 0 & 3 & -1 & 4 & -4 \\ 3 & 0 & -4 & 1 & -1 \\ 7 & 4 & 0 & 5 & 3 \\ 2 & -1 & -5 & 0 & -2 \\ 8 & 5 & 1 & 6 & 0 \end{array} \right)$$

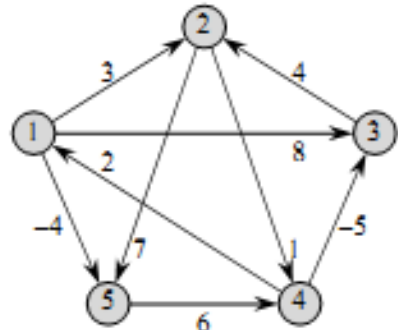
$$\Pi^{(4)} = \left(\begin{array}{ccccc} \text{NIL} & 1 & 4 & 2 & 1 \\ 4 & \text{NIL} & 4 & 2 & 2 \\ 4 & 3 & \text{NIL} & 2 & 1 \\ 4 & 3 & 4 & \text{NIL} & 1 \\ 4 & 3 & 4 & 5 & \text{NIL} \end{array} \right)$$

Промежуточные вершины = {1, 2, 3, 4, 5}

$$d_{12}^{(5)} = d_{15}^{(4)} + d_{52}^{(4)} \Rightarrow \pi_{12}^{(5)} = \pi_{52}^{(4)} = 3$$

$$d_{13}^{(5)} = d_{15}^{(4)} + d_{53}^{(4)} \Rightarrow \pi_{13}^{(5)} = \pi_{53}^{(4)} = 4$$

$$d_{14}^{(5)} = d_{15}^{(4)} + d_{54}^{(4)} \Rightarrow \pi_{14}^{(5)} = \pi_{54}^{(4)} = 5$$



$$D^{(4)} = \begin{pmatrix} 0 & 3 & -1 & 4 & -4 \\ 3 & 0 & -4 & 1 & -1 \\ 7 & 4 & 0 & 5 & 3 \\ 2 & -1 & -5 & 0 & -2 \\ 8 & 5 & 1 & 6 & 0 \end{pmatrix}$$

$$\Pi^{(4)} = \begin{pmatrix} \text{NIL} & 1 & 4 & 2 & 1 \\ 4 & \text{NIL} & 4 & 2 & 1 \\ 4 & 3 & \text{NIL} & 2 & 1 \\ 4 & 3 & 4 & \text{NIL} & 1 \\ 4 & 3 & 4 & 5 & \text{NIL} \end{pmatrix}$$

$$D^{(5)} = \begin{pmatrix} 0 & 1 & -3 & 2 & -4 \\ 3 & 0 & -4 & 1 & -1 \\ 7 & 4 & 0 & 5 & 3 \\ 2 & -1 & -5 & 0 & -2 \\ 8 & 5 & 1 & 6 & 0 \end{pmatrix}$$

$$\Pi^{(5)} = \begin{pmatrix} \text{NIL} & 3 & 4 & 5 & 1 \\ 4 & \text{NIL} & 4 & 2 & 1 \\ 4 & 3 & \text{NIL} & 2 & 1 \\ 4 & 3 & 4 & \text{NIL} & 1 \\ 4 & 3 & 4 & 5 & \text{NIL} \end{pmatrix}$$

Часть 4. Алгоритм Джонсона для разреженных графов

Алгоритм Джонсона для разреженных графов

Алгоритм Джонсона находит кратчайшие пути между всеми парами вершин за время $O(V^2 \lg V + VE)$.

Для разреженных графов он асимптотически быстрее, чем повторное возвведение матриц в квадрат или алгоритм Флойда-Уоршелла.

Алгоритм либо возвращает матрицу весов кратчайших путей для всех пар вершин, либо сообщает, что входной граф содержит цикл с отрицательным весом.

Алгоритм Джонсона для разреженных графов

Алгоритм Джонсона использует в качестве подпрограмм как алгоритм Дейкстры, так и алгоритм Беллмана-Форда .

Алгоритм Джонсона использует технику изменения весов, которая работает следующим образом.

Если все веса w ребер в графе $G = (V, E)$ неотрицательны , мы можем найти кратчайшие пути между всеми парами вершин, запустив алгоритм Дейкстры один раз из каждой вершины.

Если G имеет ребра с отрицательным весом, но не имеет циклов с отрицательным весом, мы просто вычисляем новое множество неотрицательных весов ребер , который позволяет нам использовать тот же метод.

Алгоритм Джонсона для разреженных графов

Новое множество весов ребер w' должно удовлетворять двум важным свойствам:

1. Для всех пар вершин $u, v \in V$, путь p — это кратчайший путь из u в v с использованием функции весов $w \Leftrightarrow p$ также является кратчайшим путем из u в v с использованием функции весов w' .
 2. Для всех ребер (u, v) новый вес $w'(u, v)$ неотрицателен.
- Мы можем предварительно обработать G , так чтобы определить новую функцию весов w' за время $O(VE)$.

Сохранение кратчайших путей путем изменения весов ребер

Следующая лемма показывает, как легко мы можем изменить веса ребер, чтобы удовлетворить первому свойству выше.

Мы используем δ для обозначения весов кратчайшего пути, полученных из функции весов w , и δ' для обозначения весов кратчайшего пути, полученных из функции весов w' .

Лемма 1 (Изменение весов не изменяет кратчайшие пути)

Дан взвешенный ориентированный граф $G = (V, E)$ с функцией весов

$$w : E \rightarrow R,$$

пусть $h : V \rightarrow R$ — **любая** функция, отображающая вершины в вещественные числа.

Для каждого ребра $(u, v) \in E$, определим

$$w'(u, v) = w(u, v) + h(u) - h(v) \tag{9}$$

Сохранение кратчайших путей методом изменения весов ребер

Пусть $p = \langle 0, 1, \dots, k \rangle$ — любой путь из вершины 0 в вершину k .

Тогда p — кратчайший путь из вершины 0 в вершину k с функцией веса $w \Leftrightarrow$ это кратчайший путь с функцией веса w' .

То есть,

$$w(p) = \delta(0, k) \Leftrightarrow w'(p) = \delta'(0, k).$$

Более того, G имеет цикл с отрицательным весом, использующий функцию весов w

$\Leftrightarrow G$ имеет цикл с отрицательным весом, использующий функцию весов w' .

Сохранение кратчайших путей методом изменения весов

Доказательство Начнем с демонстрации того, что

$$w'(p) = w(p) + h(v_0) - h(v_k) \quad (10)$$

У нас есть

$$\begin{aligned}\hat{w}(p) &= \sum_{i=1}^k \hat{w}(v_{i-1}, v_i) \\ &= \sum_{i=1}^k (w(v_{i-1}, v_i) + h(v_{i-1}) - h(v_i)) \\ &= \sum_{i=1}^k w(v_{i-1}, v_i) + h(v_0) - h(v_k) \quad (\text{because the sum telescopes}) \\ &= w(p) + h(v_0) - h(v_k) .\end{aligned}$$

Сохранение кратчайших путей методом изменения весов

Следовательно, любой путь p из v_0 в v_k имеет вес

$$w'(p) = w(p) + h(v_0) - h(v_k).$$

Поскольку $h(v_0)$ и $h(v_k)$ не зависят от пути, если один путь из v_0 в v_k короче другого с использованием функции весов w , то он также короче с использованием w' .

Таким образом, $w(p) = \delta(v_0, v_k) \Leftrightarrow w'(p) = \delta'(v_0, v_k)$.

Сохранение кратчайших путей методом изменения весов

Наконец, мы показываем, что G имеет цикл с отрицательным весом, используя функцию весов $w \Leftrightarrow G$ имеет цикл с отрицательным весом, используя функцию весов w' .

Рассмотрим любой цикл $c = \langle v_0, v_1, \dots, v_k \rangle$, где $v_0 = v_k$.

По уравнению (10),

$$w'(c) = w(c) + h(v_0) - h(v_k) = w(c);$$

и таким образом c имеет отрицательный вес, при использовании $w \Leftrightarrow c$ имеет отрицательный вес при использовании w' .

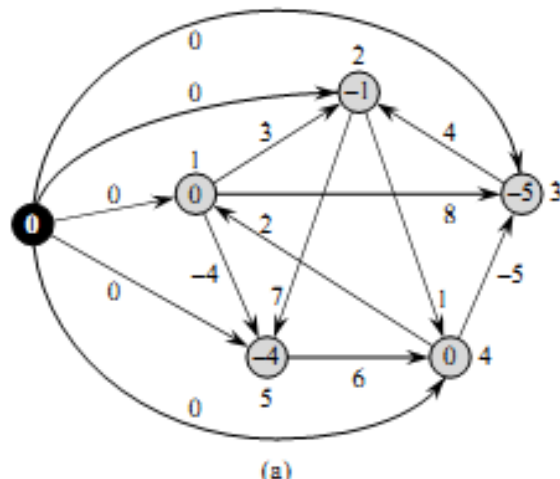
Получение неотрицательных весов методом изменения весов

Мы хотим, чтобы $w'(u, v) \geq 0$ для всех ребер $(u, v) \in E$.

Дан взвешенный ориентированный граф $G = (V, E)$ с функцией весов $w : E \rightarrow R$, мы создаем новый граф $G' = (V', E')$, где $V' = V \cup \{s\}$ для некоторой новой вершины $s \in V$ и $E' = E \cup \{(s, v) : v \in V\}$.

Расширим функцию весов w так, чтобы $w(s, v) = 0$ для всех $v \in V$.

- поскольку s не имеет входящих в нее ребер, то никакие кратчайшие пути в G' , кроме тех, которые имеют истоком s , не содержат s .
- G' не имеет циклов с отрицательным весом $\Leftrightarrow G$ не имеет циклов с отрицательным весом.



Получение неотрицательных весов путем перевешивания

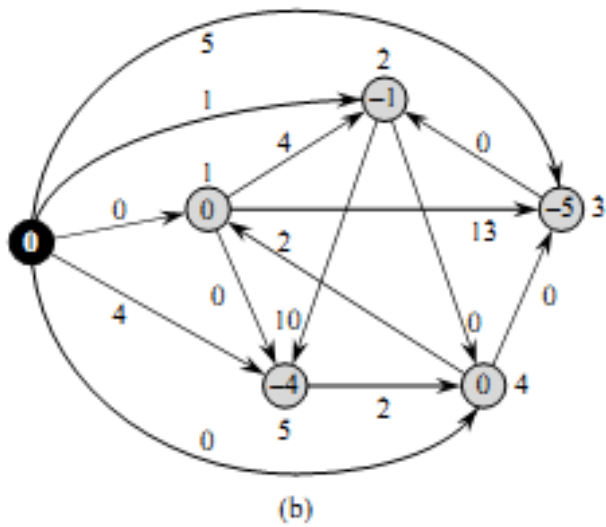
Теперь предположим, что G и G' не имеют циклов с отрицательным весом.

Определим $h(v) = \delta(s, v)$ для всех $v \in V'$.

По неравенству треугольника (лемма 24.10) имеем $h(v) \leq h(u) + w(u, v)$ для всех ребер $(u, v) \in E'$.

Таким образом, если мы определим новые веса w методом изменения веса в соответствии с уравнением (9), то получим $w'(u, v) = w(u, v) + h(u) - h(v) \geq 0$, и мы удовлетворим второму свойству.

Получение неотрицательных весов методом изменения весов



$$w'(s, 1) = 0 + 0 - 0 = 0$$

$$w'(s, 2) = 0 + 0 - (-1) = 1$$

$$w'(s, 3) = 0 + 0 - (-5) = 5$$

$$w'(s, 4) = 0 + 0 - 0 = 0$$

$$w'(s, 5) = 0 + 0 - (-4) = 4$$

$$w'(1, 2) = 3 + 0 - (-1) = 4$$

$$w'(1, 3) = 8 + 0 - (-5) = 13$$

$$w'(1, 5) = -4 + 0 - (-4) = 0$$

$$w'(2, 4) = 1 + (-1) - 0 = 0$$

$$w'(2, 5) = 7 + (-1) - (-4) = 10$$

$$w'(3, 2) = 4 + (-5) - (-1) = 0$$

$$w'(4, 3) = -5 + 0 - (-5) = 0$$

$$w'((4, 1)) : 2 + 0 - 0 = 2$$

$$w'((5, 4)): 6 - 4 + 0 = 2$$

Вычисление кратчайших путей для всех пар вершин

Алгоритм Джонсона для вычисления кратчайших путей для всех пар вершин использует алгоритм **Беллмана-Форда** и алгоритм **Дейкстры** в качестве подпрограмм.

Он неявно предполагает, что ребра хранятся в *списках смежности*.

Алгоритм выдает обычную матрицу $D = d_{ij}$ размерности $|V| \times |V|$, где $d_{ij} = \delta(i, j)$, или сообщает, что входной граф содержит цикл с отрицательным весом.

Мы предполагаем, что вершины пронумерованы от 1 до $|V|$.

JOHNSON(G, w)

1 compute G' , where $G'.V = G.V \cup \{s\}$,

$$G'.E = G.E \cup \{(s, v) : v \in G.V\},$$

and $w(s, v) = 0$ for all $v \in G.V$

2 **if** BELLMAN-FORD(G', w, s) == FALSE

3 print “the input graph contains a negative-weight cycle”

4 **else for** each vertex $v \in G'.V$

5 set $h(v)$ to the value of $\delta(s, v)$ computed by the Bellman-Ford algorithm

6 **for** each edge $(u, v) \in G'.E$

$$w'(u, v) = w(u, v) + h(u) - h(v)$$

8 let $D = (d_{uv})$ be a new $n \times n$ matrix

9 **for** each vertex $u \in G.V$

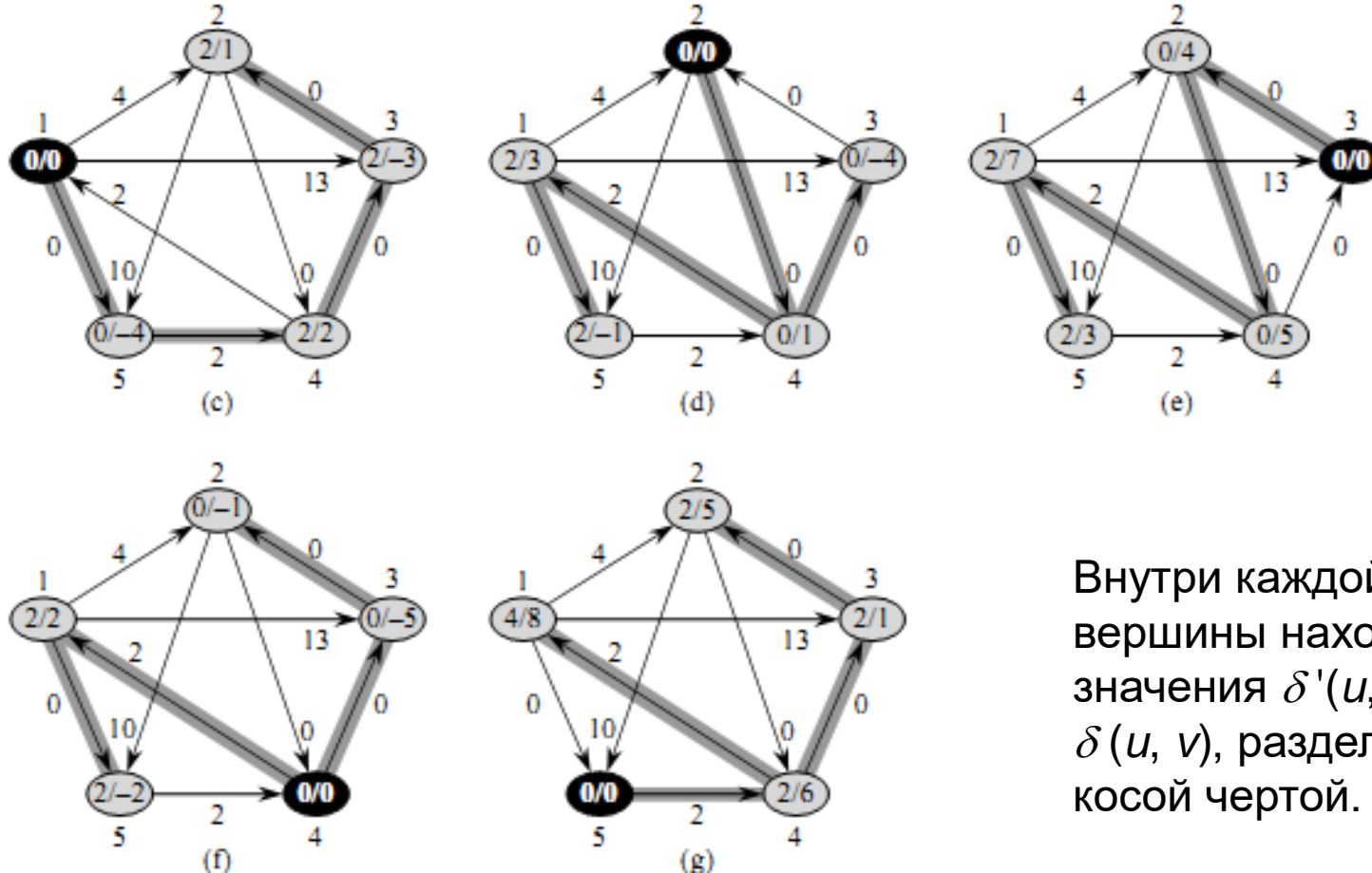
10 run DIJKSTRA(G, w', u) to compute $\delta'(u, v)$ for all $v \in G.V$

11 **for** each vertex $v \in G.V$

$$d_{uv} = \delta'(u, v) + h(v) - h(u)$$

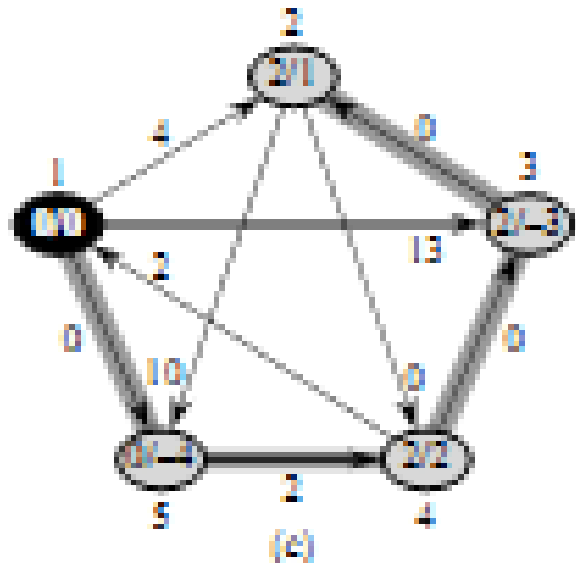
13 **return** D

Результат выполнения алгоритма Дейкстры для каждой вершины графа G с использованием весовой функции w' .



Внутри каждой
вершины находятся
значения $\delta'(u, v)$ и
 $\delta(u, v)$, разделенные
косой чертой.

Возвращение к исходным весам



$$\delta(u, v) = \delta'(u, v) + h(v) - h(u)$$

$$\delta(1, 1) = 0 + 0 - 0 = 0$$

$$\delta(1, 2) = 2 + (-1) - 0 = 1$$

$$\delta(1, 3) = 2 + (-5) - 0 = -3$$

$$\delta(1, 4) = 2 + 0 - 0 = 2$$

$$\delta(1, 5) = 0 + (-4) - 0 = -4$$

- Ваши вопросы?
- Контакты лектора:
aapanovich_09@mail.ru